

## 비수리 지상부로부터 분리한 Flavone glycosides

권동주 · 김진규 · 함연호<sup>1</sup> · 배영수\*강원대학교 산림환경과학대학 임산공학과, <sup>1</sup>강원도 산림개발연구원Flavone Glycosides from the Aerial Parts of *Lespedeza cuneata* G. DonDong-Joo Kwon, Jin-Kyu Kim, Yeon-Ho Ham<sup>1</sup> and Young-Soo Bae\*Department Wood Sciences & Engineering, College of Forest & Environmental Science,  
Kangwon National University, Chuncheon 200-701, Korea<sup>1</sup>Forest Research Institute, Gangwon Province, Chuncheon 200-140, Korea

Received August 6, 2007; Accepted October 31, 2007

The aerial parts of *Lespedeza cuneata* were collected, air-dried and extracted with 95% aqueous EtOH. Then it was successively partitioned with *n*-hexane, CH<sub>2</sub>Cl<sub>2</sub>, EtOAc and H<sub>2</sub>O. Repeated Sephadex LH-20 column chromatography on the EtOAc- and H<sub>2</sub>O-soluble fractions gave four compounds. Their structures were elucidated as quercetin (1), kaempferol (2), desmodin (3) and homoadonivernith (4) on the basis of spectroscopic evidences such as <sup>1</sup>H-NMR, <sup>13</sup>C-NMR, 2D-NMR and MS spectrum. Desmodin (3) and homoadonivernith (4) have not been reported from this plant so far.

**Key words:** *Lespedeza cuneata*, aerial part, desmodin, homoadonivernith, flavone glycosides

## 서 론

비수리(*Lespedeza cuneata* G. Don)는 콩과(Leguminosae)의 여러해살이 초본성 아관목으로 우리나라 전국의 산야에 분포하며 일본, 중국, 대만, 인도 등지에도 분포한다. 주로 산기슭 이하의 양지 끝에 자라며 줄기는 곧게 서고 가늘고 높이 1m 정도이고, 가지가 많고 잎은 호생이며 작은 잎이 3장씩 나온 겹잎이다. 작은 잎은 줄 모양의 거꾸로 세운 듯한 바소꼴이고 뒷면에 털이 있으며 길이 10~25 mm, 너비 2~4 mm이다.<sup>1)</sup> 비수리의 지상부는 한약명으로 야관문(夜關文)이라 하며 pinitol, flavonoid, tannin, β-sitosterol 등이 함유되어 있다. 민간에서는 예로부터 간과 콩팥의 기능을 보호해 주므로 유정(遺精), 유뇨(遺尿) 등을 치료하고, 폐를 강화시키므로 해수, 천식, 유방염, 종기, 시력 강화 작용<sup>2)</sup> 및 혈액 순환을 잘 되게 하여 여러 가지 남성 질병, 양기부족 등에 뛰어난 효과가 있다고 알려져 있다.<sup>3)</sup> 국내의 비수리에 관한 연구로는 종자의 열수와 ethanol 추출물의 항산화 활성<sup>4)</sup>과 미네랄, 아미노산, 비타민 분석<sup>5)</sup>만이 보고되었을 뿐 식물화학적 연구는 전무한 실정이며, 국외의 성분 연구로는 비수리 잎 추출물에서 C-glycosylflavone 화합물인 isoorientin, isovitexin, vicenin II, lucenin II와 quercetin, kaempferol, avicularin, juglanin, trifolin 등이 보고되었다.<sup>6,7)</sup>

따라서 본 연구에서는 추출성분에 대한 연구가 미진한 비수리 지상부의 EtOAc와 H<sub>2</sub>O 분획을 대상으로 column chromatography를 이용하여 2개의 flavonol 화합물과 비수리에서 처음 분리된 2개의 flavone glycoside 화합물을 NMR 등의 분광학적 기기분석을 이용하여 구조를 동정하였다.

## 재료 및 방법

**실험재료.** 본 실험에 사용한 비수리(*Lespedeza cuneata*)는 2005년 8월 인제군 한계리에서 채취하여 실험실에서 기건시킨 후 분쇄하여 추출용 시료로 사용하였으며, 표본은 강원대학교 목재천연물실험실(LCE-0508-WNL)에 보관되어 있다.

**사용기기.** NMR은 Bruker Avance DPX 400 MHz spectrometer (Germany)를 사용하여 <sup>1</sup>H(400 MHz), <sup>13</sup>C-NMR(100 MHz) 및 2D-NMR(HMQC, COSY, HMBC)을 측정하였으며, 분석용매로는 TMS를 첨가한 CD<sub>3</sub>OD와 (CD<sub>3</sub>)<sub>2</sub>CO를 사용하였다. FAB-MS와 MALDI-TOF-MS 분석은 Micromass Autospec M363 (UK)과 Voyager-DE-STR spectrometer(USA)를 사용하여 positive ion mode에서 측정하였다. Column chromatography용 충전물질은 lipophilic Sephadex LH-20(Sigma, Sweden), TLC plate는 DC-Plastikfolien Cellulose F(Merck, Germany)을 사용하였다. TLC 전개용매는 TBA[*t*-butanol : AcOH : H<sub>2</sub>O(3 : 1 : 1, v/v/v)]와 6% AcOH를 사용하였고 vanillin 발색제[vanillin : HCl : EtOH (4.8 : 12 : 480, w/v/v)]를 분무하여 TLC에 반응하는 색을 관찰하였다. 용매 및 기타 시약은 일급 및 특급 시약을 사용하였다.

\*Corresponding author

Phone: +82-33-250-8325, Fax: +82-33-256-8320

E-mail: bae@kangwon.ac.kr

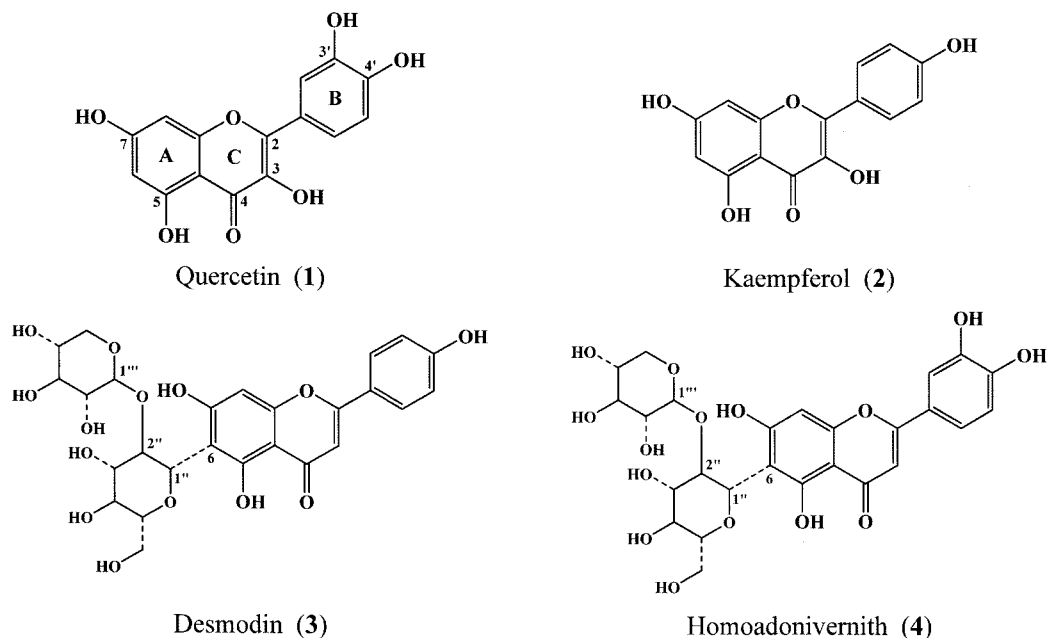


Fig. 1. Chemical structures of compounds 1-4 from the aerial parts of *Lespedeza cuneata*.

**추출 및 분획.** 비수리 분말 2.2 kg을 95% EtOH 용액에 약 5일간 실온에서 3회 반복 추출한 후 여과지(Advantec No. 2)로 여과하였다. 여액을 40°C에서 감압농축하고, 농축된 추출물을 물(2 l)에 현탁시키고, *n*-hexane(0.5 l×2), dichloromethane(CH<sub>2</sub>Cl<sub>2</sub>, 1 l×3), ethyl acetate(EtOAc, l×3) 순으로 극성에 따라 분획하였다. 각 분획물은 감압농축하여 유기용매를 제거한 후 동결 건조하여 조추출물(20.9 g, LCC), *n*-hexane 분획(0.01 g, LCHe), CH<sub>2</sub>Cl<sub>2</sub> 분획(13.8 g, LCD), EtOAc 분획(8.1 g, LCE) 및 H<sub>2</sub>O 분획(128.8 g, LCH)을 얻었다.

**화합물의 분리.** EtOAc 분획(5.5 g)을 Sephadex LH-20으로 충전한 column(3×70 cm) chromatography(C.C.)(MeOH-H<sub>2</sub>O=1:1)를 실시하여 19개의 fraction(LCE-1~LCE-19)으로 나누었다. 그 중 LCE-18 fraction에서 생성된 노란색의 결정을 원심분리하여 순수한 결정성 화합물 1(10 mg)을 얻었으며, LCE-17 fraction을 Sephadex LH-20 C.C.(1×60 cm, MeOH-H<sub>2</sub>O=1:3)로 정제하여 화합물 2(LCE-174, 10 mg)을 분리하였다. 또한, H<sub>2</sub>O 분획(28.5 g)을 Sephadex LH-20 C.C.(5×70 cm, MeOH-H<sub>2</sub>O=1:1)를 실시하여 4개의 fraction(LCH-1~LCH-4)을 얻었다. 그 중 LCH-2 fraction을 Sephadex LH-20 C.C.(1×60 cm, MeOH-H<sub>2</sub>O=1:3)를 실시하여 TLC에 하나의 spot으로 보이는 fraction을 다시 모아 Sephadex LH-20 C.C.(1×60 cm, MeOH-H<sub>2</sub>O=1:5)로 정제하여 화합물 3(LCH-242, 100 mg)을 분리하였으며, LCH-3 fraction을 Sephadex LH-20 C.C.(1×60 cm, MeOH-H<sub>2</sub>O=1:3)를 실시하여 vanillin 발색제에 진한 노란색으로 반응하는 spot들을 모아 Sephadex LH-20 C.C.(1×60 cm, MeOH-H<sub>2</sub>O=1:6)로 정제하여 화합물 4(LCH-322, 158 mg)를 분리하였다.

화합물 1(querctin): yellow amorphous powder; R<sub>f</sub>: 0.58 (TBA), 0.00 (6% AcOH); FAB-MS *m/z*: 303 [M+H]<sup>+</sup>; <sup>1</sup>H-NMR (400 MHz, (CD<sub>3</sub>)<sub>2</sub>CO, δ): 6.30 (1H, d, *J*=1.9 Hz, H-

6), 6.55 (1H, d, *J*=1.9 Hz, H-8), 7.02(1H, d, *J*=8.3 Hz, H-5'), 7.70 (1H, dd, *J*=8.3, 2.1 Hz, H-6'), 7.80 (1H, d, *J*=2.1 Hz, H-2'), 12.18 (1H, s, OH-5); <sup>13</sup>C-NMR (100 MHz, (CD<sub>3</sub>)<sub>2</sub>CO, δ): 94.94 (C-8), 99.55 (C-6), 104.36 (C-10), 116.11 (C-2'), 116.6 (C-5'), 121.89 (C-1'), 123.84 (C-6'), 137.04 (C-3), 146.26 (C-3'), 147.89 (C-2), 148.78 (C-4'), 158.03 (C-9), 162.04 (C-5), 165.49 (C-7), 177.03 (C-4).

화합물 2(kaempferol): yellow amorphous powder; R<sub>f</sub>: 0.55 (TBA), 0.00 (6% AcOH); FAB-MS *m/z*: 287 [M+H]<sup>+</sup>; <sup>1</sup>H-NMR (400 MHz, (CD<sub>3</sub>)<sub>2</sub>CO, δ): 6.28 (1H, d, *J*=1.9 Hz, H-6), 6.54 (1H, d, *J*=1.9 Hz, H-8), 7.03 (2H, d, *J*=8.8 Hz, H-3',5'), 8.16 (2H, d, *J*=8.8 Hz, H-2',6'), 12.18 (1H, s, OH-5); <sup>13</sup>C-NMR (100 MHz, (CD<sub>3</sub>)<sub>2</sub>CO, δ): 94.51 (C-8), 99.18 (C-6), 104.17 (C-10), 116.35 (C-3',5'), 123.34 (C-1'), 130.48 (C-2',6'), 136.66 (C-3), 147.03 (C-2), 157.79 (C-9), 160.17 (C-5), 162.33 (C-4'), 164.98 (C-7), 176.61 (C-4).

화합물 3(desmodin): yellow amorphous powder; R<sub>f</sub>: 0.26 (TBA), 0.51 (6% AcOH); MALDI-TOF-MS *m/z*: 565 [M+H]<sup>+</sup>, 587 [M+Na]<sup>+</sup>; <sup>1</sup>H-NMR (400 MHz, CD<sub>3</sub>OD, δ): 2.76 (1H, t, *J*=10.9, 9.5 Hz, H-5''a), 3.08(1H, t, *J*=7.7, 8.3 Hz, H-2''), 3.21 (3H, m, H-5''b, 3'',4''), 3.41 (2H, m, H-2'',5''), 3.50 (1H, t, *J*=9.4, 9.1 Hz, H-4''), 3.66 (1H, t, *J*=8.8, 8.8 Hz, H-3''), 3.73 (1H, dd, *J*=5.2, 11.8 Hz, H-6''b), 3.89 (1H, d, *J*=11.8 Hz, H-6''a), 4.29 (1H, d, *J*=6.6 Hz, H-1''), 4.95 (1H, d, *J*=9.8 Hz, H-1''), 6.47 (1H, s, H-8), 6.59 (1H, s, H-3), 7.15 (2H, d, *J*=8.3 Hz, H-3',5'), 7.82 (2H, d, *J*=8.3 Hz, H-2',6'); <sup>13</sup>C-NMR (100 MHz, CD<sub>3</sub>OD, δ): 61.42 (C-6''), 65.38 (C-5''), 69.42 (C-4''), 70.09 (C-4''), 72.03 (C-1''), 74.11 (C-2''), 76.10 (C-3''), 78.41 (C-3''), 80.43 (C-2''), 81.08 (C-5''), 93.31(C-8), 102.32 (C-3), 103.57 (C-10), 105.37 (C-1''),

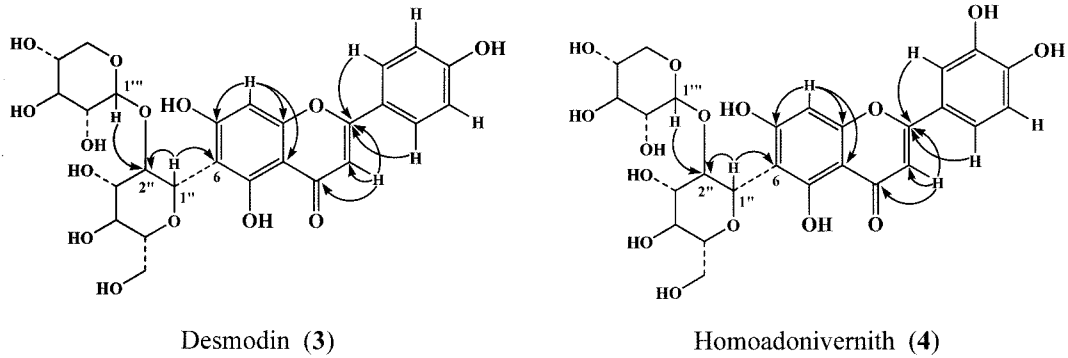


Fig. 2. Selected HMBC correlations of compounds 3 and 4.

107.57 (C-6), 115.55 (C-3',5'), 121.57 (C-1'), 127.94 (C-2',6'), 157.25 (C-9), 161.29 (C-4'), 163.62 (C-5), 164.61 (C-7), 164.67 (C-2), 182.49 (C-4).

화합물 4(homoadonivernith): yellow amorphous powder;  $R_f$ : 0.40 (TBA), 0.51 (6% AcOH); FAB-MS  $m/z$ : 581 [M+H]<sup>+</sup>; <sup>1</sup>H-NMR (400 MHz, CD<sub>3</sub>OD,  $\delta$ ): 2.75 (1H, dd,  $J=9.3, 10.9$  Hz, H-5''a), 3.08 (1H, t,  $J=7.7, 8.4$  Hz, H-2'''), 3.20 (3H, m, H-5''b, 3''',4'''), 3.40 (2H, m, H-2'',5''), 3.49 (1H, t,  $J=9.5, 9.1$  Hz, H-4''), 3.66 (1H, t,  $J=8.9, 8.9$  Hz, H-3''), 3.72 (1H, dd,  $J=5.5, 12.1$  Hz, H-6''b), 3.88 (1H, dd,  $J=1.7, 12.1$  Hz, H-6''a), 4.28 (1H, d,  $J=7.0$  Hz, H-1'''), 4.91 (1H, d,  $J=9.8$  Hz, H-1''), 6.46 (1H, s, H-8), 6.54 (1H, s, H-3), 6.89 (1H, d,  $J=8.9$  Hz, H-5'), 7.36 (2H, m, H-2',6'); <sup>13</sup>C-NMR (100 MHz, CD<sub>3</sub>OD,  $\delta$ ): 61.90 (C-6''), 65.87 (C-5'''), 69.91 (C-4'''), 70.59 (C-4''), 72.53 (C-1'''), 74.60 (C-2'''), 76.58 (C-3'''), 78.90 (C-3''), 80.93 (C-2''), 81.58 (C-5''), 93.80 (C-8), 102.85 (C-3), 104.07 (C-10), 105.86 (C-1''), 108.06 (C-6), 113.13 (C-2'), 115.80 (C-5'), 119.31 (C-6'), 122.51 (C-1'), 146.02 (C-3'), 150.03 (C-4'), 157.74 (C-9), 161.30 (C-5), 164.08 (C-7), 165.18 (C-2), 182.96 (C-4).

## 결과 및 고찰

비수리틀 95% EtOH으로 추출한 후 용매의 극성에 따라 분획을 실시하여 동결 건조하였다. 그 중 EtOAc 분획과 H<sub>2</sub>O 분획에 대한 Sephadex LH-20 column chromatography를 반복적으로 실시하여 2개의 flavonol 화합물과 2개의 flavone glycoside 화합물을 분리하고 NMR을 이용하여 그 구조를 규명하였다(Fig. 1).

화합물 1과 화합물 2는 대표적인 flavonol 화합물로 TLC에 전개하고, vanillin 발색제에 노란색으로 발색되었다. 화합물 1의 <sup>1</sup>H-NMR spectrum에서 catechol ring의 signal이  $\delta$  7.02, 7.70, 7.80에서 나타나며, <sup>13</sup>C-NMR spectrum에서 C-ring의 이중결합 탄소인 C-2, 3이  $\delta$  147.89와  $\delta$  137.04, carbonyl 탄소가  $\delta$  177.03에서 signal이 관찰되는 것으로 보아 flavonol skeleton임을 알 수 있었으며, 기존의 문헌을 비교하여 화합물 1은 quercetin으로 동정하였다.<sup>8,9)</sup> 화합물 2의 NMR spectrum은

화합물 1과 거의 유사하나 <sup>1</sup>H-NMR spectrum에서  $\delta$  8.16과  $\delta$  7.03의 두 개의 doublet ( $J=8.8$  Hz) signal과 <sup>13</sup>C-NMR spectrum에서  $\delta$  130.48과  $\delta$  116.35의 signal은 B-ring이 서로 대칭인 phenol ring의 구조임을 알 수 있어 화합물 2는 kaempferol로 동정하였다.

화합물 3은 노란색 분말로, vanillin 발색제에 노란색으로 반응하였다. MALDI-TOF-MS (positive) spectrum에서 분자 ion peak는  $m/z$  565 [M+H]<sup>+</sup>, 587 [M+Na]<sup>+</sup>에서 나타났다. <sup>1</sup>H-NMR spectrum에서  $\delta$  6.59 (1H, s, H-3) signal과 <sup>13</sup>C-NMR spectrum의  $\delta$  164.67 (C-2)와  $\delta$  102.32 (C-3), carbonyl 탄소의 signal이  $\delta$  182.49에서 관측되는 것으로 보아 flavone 구조임을 알 수 있었다.<sup>10)</sup> <sup>1</sup>H-NMR spectrum의  $\delta$  7.82와  $\delta$  7.15에서 나타나는  $J=8.3$  Hz인 2H의 doublet signal은 H-2',6'과 H-3',5'이 대칭 구조로 서로 ortho coupling임을 알 수 있으며, H-8이  $\delta$  6.47에서 singlet signal로 관측된다.  $\delta$  4.95와  $\delta$  4.29의 signal은 glucose와 xylose의 anomeric proton으로  $J$ 값이 각각 9.8 Hz와 6.6 Hz인 것으로 보아  $\beta$ -D-glucose와  $\beta$ -D-xylose임을 알 수 있었고, 나머지 당의 수소들이  $\delta$  2.76-3.89 사이에서 복잡한 signal로 나타났다. <sup>13</sup>C-NMR spectrum에서 C-2',6'과 C-3',5'의 대칭 signal은  $\delta$  127.94와  $\delta$  115.55에서 관측되며, C-6은 aglycone인 apigenin의 C-6과 비교할 때 저자장으로 shift되어  $\delta$  107.57에서 signal이 나타나며, glucose의 anomeric carbon은  $\delta$  72.03에서 signal이 관측되는 것으로 보아 C-glycoside임을 추정할 수 있었다. 일반적으로 flavonoid C-glycoside의 경우 당과 C-C 결합을 하고 있는 탄소의 chemical shift는 저자장으로 약  $\delta$  10 정도 shift 되지만 주위에 다른 탄소들의 chemical shift에는 상대적으로 영향을 미치지 않는다고 보고된바 있다.<sup>11)</sup> Xylose의 anomeric carbon은  $\delta$  105.37에서 signal이 나타나는 것으로 보아 ether 결합을 하고 있음을 알 수 있었으며, glucose의 C-2''이  $\delta$  80.43의 저자장으로 shift 된 것으로 보아 xylose-(1  $\rightarrow$  2)-glucose의 구조임을 추정할 수 있었다. 나머지 glucose와 xylose의 탄소들은  $\delta$  78.41 (C-3''), 70.09 (C-4''), 65.38 (C-5''), 61.42 (C-6''), 74.11 (C-2'''), 76.10 (C-3'''), 69.42 (C-4'''), 65.38 (C-5''')에서 signal이 관측되었다. HMBC spectrum에서 glucose의 1번 수소인 H-1''은 C-6과 C-2'', xylose 1번 수소인 H-1'''은 C-2'', H-3은 C-2와 C-4와의 cross peak가 관측되어 aglycone과 glucose의 결합위치 및 glucose와 xylose의 결합위치

를 확인하였으며(Fig. 2), HMQC spectrum에서 H-3은  $\delta$  102.32 (C-3), H-8은  $\delta$  93.31 (C-8), H-1"은  $\delta$  72.03 (C-1"), H-1'"은  $\delta$  105.37 (C-1'") 등의 cross peak를 관찰하여 수소와 결합하고 있는 탄소의 위치를 결정하였다. 위의 결과들로부터 화합물 3은 분자식  $C_{26}H_{28}O_{14}$ 인 desmodin(apigenin-6-C- $\beta$ -D-xylopyranosyl-(1  $\rightarrow$  2)- $\beta$ -D-glucopyranoside)으로 동정하였다.<sup>12,13)</sup>

화합물 4는 노란색 분말로, vanillin 발색제에 노란색으로 반응하였다. FAB-MS (positive) spectrum에서 분자 ion peak는  $m/z$  581  $[M+H]^+$ 에서 나타났다. 화합물 4는 화합물 3과 구조가 거의 유사하나 aglycone의 B-ring이 catechol 구조인 luteolin으로,  $^1H$ -NMR spectrum에서 H-2',6'은 겹쳐서 multiplet signal로  $\delta$  7.36 (2H, m)에서 나타나며,  $\delta$  6.89 (1H,  $J=8.9$  Hz)에서 H-5'의 signal을 관측하였다. 또한, anomeric proton인 H-1"과 H-1'"은 각각  $\delta$  4.91과  $\delta$  4.28에서 doublet signal이 나타나며  $J$ 값이 9.0 Hz와 7.0 Hz인 것으로 보아  $\beta$  형태임을 알 수 있었다.  $^{13}C$ -NMR spectrum에서 catechol B-ring의 signal이  $\delta$  119.31 (C-6'), 115.80 (C-5'), 113.13 (C-2')에서 관측되었으며, C-6은  $\delta$  108.06, glucose와 xylose anomeric carbon인 C-1"과 C-1'"은  $\delta$  72.53과  $\delta$  105.86에서 signal이 나타났다. HMBC spectrum에서 H-1"은 C-6과 C-2", H-1'"은 C-2", H-3은 C-2와 C-4와의 cross peak가 나타났으며(Fig. 2), HMQC, COSY spectrum 등의 data를 종합한 결과 화합물 4는 분자식  $C_{26}H_{28}O_{15}$ 인 homoardonivernith(luteolin-6-C- $\beta$ -D-xylopyranosyl-(1  $\rightarrow$  2)- $\beta$ -D-glucopyranoside)으로 동정하였다.<sup>14,15)</sup>

Desmodin(화합물 3)과 homoardonivernith(화합물 4)는 호비수리(*Lespedeza davurica*)에서 분리 보고된 바 있으나,<sup>16)</sup> 비수리 지상부에서는 처음 분리하여 보고하는 화합물이다.

## 초 록

비수리 지상부를 95% EtOH 용액으로 추출하고, 추출물을 *n*-hexane,  $CH_2Cl_2$ , EtOAc 및  $H_2O$ 로 용매 분획하였다. 이 중 EtOAc와  $H_2O$  분획을 대상으로 Sephadex LH-20 column chromatography를 실시하여 4개의 화합물을 분리하였다. 화합물의 구조는  $^1H$ -NMR,  $^{13}C$ -NMR, 2D-NMR 및 MS spectrum을 분석하여, quercetin (1), kaempferol (2), desmodin (3) 및 homoardonivernith (4)으로 동정하였으며, 그 중 desmodin (3)과 homoardonivernith (4)는 비수리에서 처음으로 분리되었다.

**Key words:** *Lespedeza cuneata*, aerial part, desmodin, homoardonivernith, flavone glycosides

## 감사의 글

본 연구의 깨끗한 NMR과 MS 스펙트럼을 얻을 수 있도록 도움을 주신 강원대학교 공동실험관 핵자기공명실의 유지숙 박사님과 질량분석실의 정영림 박사님께 감사드립니다.

## 참고문헌

- Lee, T. B. (1985) In *Illustrated Flora of Korea*. Hyang Mun Sa, Seoul, Korea.
- Ahn, D. K. (1998) In *Illustrated Book of Korean Medicinal Herbs*. Kyohaksa Publishing Co., Ltd, Seoul, Korea.
- Kee, C. H. (1993) In *The Pharmacology of Chinese Herbs*. CRC Press, China.
- Kim, S. J. and Kim, D. U. (2007) Antioxidative activity of hot water and ethanol extracts of *Lespedeza cuneata* seeds. *Korean J. Food Preserv.* **14**, 332-335.
- Ding, J. L., Lim, I. J., Lee, H. D. and Cha, W. S. (2006) Analysis of minerals, amino acids and vitamin of *Lespedeza cuneata*, *Korean J. Biotechnol. Bioeng.* **21**, 414-417.
- Atsushi, N., Kazuko, H. and Hideo, Y. (1980) C-Glycosylflavones in *Lespedeza cuneata*. *Chem. Pharm. Bull.* **28**, 964-965.
- Shin, M., Munekazu, L., Emiko, I., Hiromasa, T. and Kengo, K. (1978) Studies on the constituents of the useful plants. VIII. The constituents of *Lespedeza cuneata* G. Don. *Yakugaku Zasshi* **98**, 1542-1544.
- Agrawal, P. K. (1989) In *Carbon-13 NMR of Flavonoids*. Elsevier, New York.
- Lee, S. K., Park, W. K. and Bae, Y. S. (1997) Procyanidins from *Lindera obtusiloba* bark. *Mokchae Konghak* **35**, 110-116.
- Harborne, J. B. and Mabry, T. J. (1982) In *The Flavonoids: advances in research*. Chapman and Hall Ltd., London.
- Markham, K. R. (1992) In *Techniques of Flavonoid Identification*. Academic press, New York.
- Saleh, R., Torgils, F. and Anderson, Ø. M. (2005) Flavone C-glycosides from leaves of *Oxalis triangularis*. *J. Agric. Food Chem.* **53**, 10057-10060.
- Hideaki, O. and Kaori, K. (2001) An iridoid gentibioside, a benzophenone glucoside and acylated flavone C-glycosides from *Tripterospermum japonicum* (Sieb. et Zucc.). Maxim. *Chem. Pharm. Bull.* **49**, 699-702.
- Toshihiro, K., Tomomi, M., Shigeru, M., Shingo, S. and Onodera, J. I. (2000) An effective synthesis of isoorientin: the regioselective synthesis of a 6-C-glucosylflavone. *Carbohydr. Res.* **329**, 507-513.
- Ulubelen, A. and Mabry, T. J. (1980) C-Glycosylflavonoids of *Passiflora serratifolia*. *J. Nat. Prod.* **43**, 162-163.
- Matsuzaki, K., Wang, Y. Q., Takahashi, K. and Okuyama, T. (1990) Flavonoids glycosides of *Lespedeza* species. *Shoyakugaku Zasshi* **44**, 251-253.